

## تغییرات ژرفای موهو و نسبت Vp/Vs در شمال باختری زاگرس (منطقه کرمانشاه) با استفاده از توابع گیرنده دورلرز

نرگس افسری<sup>۱\*</sup>، فروغ صدودی<sup>۲</sup>، محمد رضا قیطانچی<sup>۳</sup> و ایوب کاویانی<sup>۴</sup>

<sup>۱</sup>دانشگاه آزاد اسلامی، واحد علوم و تحقیقات، تهران، ایران.

<sup>۲</sup> مؤسسه تحقیقاتی علوم زمین پتسدام، پتسدام، آلمان.

<sup>۳</sup>دانشگاه تهران، مؤسسه ژئوفیزیک، تهران، ایران.

<sup>۴</sup> مرکز تحصیلات تکمیلی علوم پایه زنجان، دانشکده ژئوفیزیک، زنجان، ایران.

تاریخ دریافت: ۱۳۸۷/۰۱/۳۱ | تاریخ پذیرش: ۱۳۸۷/۰۶/۰۹

### چکیده

مشخص کردن جزئیات پوسته و گوشته بالایی یکی از اهداف مهم مطالعات ژئوفیزیکی است. شکل امواج حجمی دورلرز به طور گسترده برای استخراج ساختار پوسته و گوشته بالایی به کار می‌رود. در این مقاله برای استخراج تغییرات ژرفای موهو و نسبت  $Vp/Vs$  در زیر شبکه کرمانشاه که در شمال باختری زاگرس قرار دارد از روش تابع گیرنده دورلرز استفاده شده است. به همین منظور از زمین لرزه‌ایی که توسط پنج ایستگاه لرزه‌ای کوتاه دوره سه مؤلفه‌ای در فاصله رومکز  $\Delta < 95^\circ$  از مرکز شبکه و بزرگای  $m_b \geq 5/5$  از اوآخر سال ۲۰۰۳ تا ۲۰۰۷ میلادی ثبت شده‌اند، استفاده شده است. در این روش ژرفای موهو با استفاده از تأخیر زمانی بین موج  $P$  برخوردی به زیر ایستگاه و موج تبدیل یافته  $P$  به  $S$  از موهو بدست می‌آید. ژرفای محاسبه شده به ساختار سرعتی موج  $P$  حساس نیست ولی به شدت به ساختار سرعتی موج  $S$  حساس است. برای کاهش این حساسیت می‌توان از فازهای بازتاب یافته چندگانه مانند  $PpPs$  و  $PsPs$  استفاده نمود. در این مقاله از روش (Zhu & Kanamori 2000) استفاده شد. در این روش به دنبال  $H$  و  $Vp/Vs$  ای هستیم که به ازای آنها برای این دامنه‌های فاز تبدیل یافته و بازتاب‌های چندگانه در زمان رسیدهای پیش‌بینی شده به بیشینه مقدار خود بررسد. همچنین می‌توان با برای این دامنه‌ها از مسافت‌ها و جهات مختلف، اثرات تغییر ساختار جانبی را کم کرده و میانگین ژرفای موهو و نسبت  $Vp/Vs$  را به طور همزمان در پوسته بدست آورد. با اعمال این روش ژرفای موهو برای منطقه کرمانشاه به طور متوسط ۴۲ کیلومتر بدست آمد. کمترین سمترا برای پوسته ۳۶ کیلومتر در زیر ایستگاه دهش و بیشترین سمترا برای پوسته ۵۱/۵ کیلومتر در زیر ایستگاه دهش و بیشترین سمترا برای پوسته ۱/۷۶ کیلومتر بدست آمد. همچنین مشاهده شد که از باخته به سمت خاور (از دهش تا ویس) ژرفای موهو افزایش می‌یابد و دوباره به سمت کماسی کاهش ژرفای وجود دارد.

**کلیدواژه‌ها:** موهو، تابع گیرنده امواج دورلرز، برای این دامنه، زاگرس

\*نویسنده مسئول: نرگس افسری

### ۱- مقدمه

زاگرس چین خورده که به آن کمریند چین خورده (Stocklin, 1968) و زون ساده چین خورده (Falcon, 1974) نیز گفته می‌شود. از نظر نو زمین ساختی زاگرس چین خورده در اثر حرکت رو به شمال صفحه عربی و برخورد آن با صفحه ایران در شمال خاوری - جنوب باخته فشرده می‌شود. به همین دلیل در حال حاضر زاگرس تحت تأثیر دگرگشکلی، ناشی از فشارهای زمین شناختی با روند SSW-ANNE، فرجام همگرایی و برخورد قاره‌ای قرار دارد (آقاباتی، ۱۳۸۳). منطقه مورد مطالعه (کرمانشاه) نیز در شمال باخته زاگرس و در  $45^\circ$ - $49^\circ$  طول خاوری و  $33^\circ$ - $36^\circ$  عرض شمالی قرار دارد. شکل ۱ نقشه توپوگرافی و توزیع ایستگاه‌های لرزه‌نگاری مورد استفاده در منطقه کرمانشاه را نشان می‌دهد. بیشترین بخش این منطقه که در جنوب گسل صحنه مروارید قرار دارد، ویژگی‌های رسویی ساختاری شمال باخته زاگرس را داراست که شامل دو زیر پهنه زاگرس مرتفع و زاگرس چین خورده است. گوشه شمال خاوری آن نیز بخش کوچکی از زون دگرگون شده سنترج - سیرجان است که به وسیله یکی از گسل‌های جوان و لرزه‌زای (گسل‌های مروارید و صحنه) از دیگر قسمت‌های این منطقه جدا شده است. خط راندگی زاگرس در منطقه کرمانشاه قطع شده و به جای آن مجموعه‌ای از گسل‌های کواترنری امتدادگز راست گرد که گسل اصلی عهد حاضر (Main Recent Fault) وجود دارد که ساخت اصلی موازی با گسل اصلی معکوس زاگرس دارد. گسل اصلی عهد حاضر دارای پتانسیل لرزه‌خیزی بالایی است و به سبب

نوار چین خورده - راندگی زاگرس بخشی از کمریند کوه‌زایی آلب - هیمالیا و یکی از جوانترین و فعال‌ترین پهنه‌های برخورد قاره - قاره در روی زمین است (Snyder & Barazangi, 1986) که از کوه‌های تاروس در جنوب خاور ترکیه تا گسل میناب در خاور جزیره هرمز در جنوب ایران امتداد دارد و نتیجه برخورد صفحه قاره‌ای عربستان در جنوب باخته با خرد قاره ایران مرکزی در شمال خاور است (Alavi, 1994; Berberian, 1995). الگوی ساختاری زاگرس در همه جا یکسان نیست. بررسی‌های ساختاری نشانگر آن است که شمال خاور به جنوب باخته پوشش رسویی روی پی‌سنگ در برابر تنش‌های فشارشی واکنش‌های متفاوتی داشته‌اند. به گونه‌ای که از نظر ساختاری می‌توان دو زیر پهنه راندگی‌ها و زیر پهنه چین خورده را در زاگرس شناسایی کرد. زیر پهنه راندگی‌ها با پهنه‌ای ۱۰ تا ۶۵ کیلومتر، به صورت نواری کم پهنا است که بلندترین قسمت کوه‌های زاگرس را تشکیل می‌دهد. به همین رو گاه به آن زاگرس مرتفع گفته می‌شود. مرز شمال خاوری این زیر پهنه به راندگی اصلی زاگرس (MZT) و مرز جنوب باخته با یک راندگی مهم بسته می‌شود (HZF). که از شمال کوه کی نو و جنوب دهنگان و کوه‌سیز و می‌گلردد (مطیعی، ۱۳۷۴). یکی از ویژگی‌های زاگرس مرتفع، راندگی‌های فراوان است. شیب راندگی‌ها به سمت شمال خاوری است. گسل‌های موجود در این زیر پهنه بیشتر روراندگی و گاه نرمال هستند. شیب گسل‌های راندگی به سوی شمال خاور است. ریخت‌شناسی برجسته و همچنین افزایش سمترا برای پوسته قاره‌ای در زاگرس مرتفع پیامد عملکرد راندگی‌ها است (آقاباتی، www.SID.ir

## پردازش‌های زیر انجام شد:

### ۱-۲. حذف اثر دستگاهی

در صورتی که لرزه‌نگارهای مورد استفاده در سه راستا (W-E, N-S, Z) یکسان نباشند، در نتیجه دارای پاسخ بسامدی یکسانی نخواهند بود. در این صورت ابتدا باید اثر دستگاهی از روی لرزه‌نگاشتهای ثبت شده حذف شود. به همین منظور نگاشتهای ثبت شده با پاسخ بسامدی دستگاه و اهمامیخت می‌شوند.

### ۲-۲. چرخش از ZNE به سیستم مختصات محلی پتو LQT

در ابتدا دو مؤلفه افقی N-S و E-W را تحت زاویه Back Azimuth تا در جهات شعاعی (R) و مماسی (T) قرار گیرند. در اثر این چرخش مؤلفه‌های Z و R دارای بیشترین انرژی موج P و فاز تبدیل یافته P به S هستند. در مرحله بعد سیستم مختصات ZRT را تحت زاویه‌ای که موج P به ایستگاه وارد می‌شود به سیستم مختصات LQT تبدیل می‌کنیم. مؤلفه L در جهت موج P فرودی به زیر ایستگاه است. Q در صفحه پرتو و عمود بر L و جهت مثبت آن در جهت دور شدن از چشم قطب است. T نیز بر صفحه شامل L و Q عمود است. در اثر این چرخش‌ها مؤلفه L فقط شامل انرژی موج P و بازتاب‌های چندگانه مربوط به آن است در حالی که مؤلفه‌های Q و T بیشتر شامل انرژی فاز تبدیل یافته Ps و بازتاب‌های مربوط به آن هستند.

### ۳-۲. واهمامیختگی (Deconvolution)

در این مرحله مؤلفه Q و T با سیگنال P روی مؤلفه L و اهمامیخت می‌شوند (Yuan et al., 2000). با این کار، اثرات ناحیه چشم و مسیر انتشار گوشه‌های حذف مماسی گویند که شامل فازهای تبدیل یافته Ps و بازتاب‌های چندگانه از هر ناپوستگی سرعی و بازتاب‌های بین سطح زمین و این ناپوستگی‌ها هستند. در صورتی که دامنه فاز تبدیل یافته Ps بر روی مؤلفه T بزرگ باشد، نشانگر شبیدار بودن لایه و یا ناهمسانگرد بودن محیط است که می‌توان با استفاده از آن درجه ناهمسانگردی و یا شبیب لایه‌ای با شبیب بیش از ۱۰° تبدیل یافته Ps و همین‌طور بالا بردن نسبت سیگنال به نویه (نوبیز) بهتر است توابع گیرنده به دست آمده از فواصل رومکزی متفاوت و توزیع سمتی (آزمونی) متفاوت به ردیف شده و برانبارش شوند به همین منظور توابع گیرنده با استفاده از تصحیح دینامیکی بروز اند (Moveout correction) بر حسب پارامتر پرتوشان معادل می‌شوند.

### ۴-۲. محاسبه ژرفای مoho و نسبت Vp/Vs

اطلاعات اصلی درباره ساختار پوسته زیر یک ایستگاه لرزه‌ای را می‌توان با استفاده از تابع گیرنده شعاعی (Q) به دست آورد. به دلیل تفاوت سرعی بین سطح زمین و پوسته گوشه‌های فاز تبدیل یافته از موهو اغلب بزرگ‌ترین سیگنال به دنبال موج Ps مستقیم است. می‌توان با استفاده از اختلاف زمان رسید فاز تبدیل یافته Ps از موهو نسبت به موج مستقیم P ژرفای مoho و نسبت Vp/Vs را محاسبه نمود. در این مطالعه با استفاده از روش برانبارش (2000) Zuh & Kanamori (H) و (k=Vp/Vs) k ستبرای پوسته H و نسبت Vp/Vs را به دست می‌آوریم. شرط استفاده از این روش داشتن بازتاب‌های چندگانه آشکار بر روی تابع گیرنده برانبارش شده است.

$$S(H, k) = w_1 r_1(t_1) + w_2 r_2(t_2) - w_3 r_3(t_3) \quad (1)$$

در این رابطه  $S(H, k)$  برانبارش شده دامنه‌های سه فاز Ps, PpPs و Pp به ازای  $H$  و  $k$  مختلف در حوزه  $H-k$  هستند.  $r_1(t_1), r_2(t_2), r_3(t_3), w_1, w_2$  و  $w_3$  به ترتیب دامنه‌ها و زمان

فعال شدن قطعات مختلف آن باعث رخداد زمین‌لرزه‌های ویرانگری بوده است. از این رو مطالعه جزئیات ساختار پوسته منطقه که ما را در تعیین ژرفای زون لرزه‌زا، سازوکار زمین‌لرزه‌ها، روابط کاهنده‌گی و... کمک می‌کند، ضروری به نظر می‌رسد. شناخت جزئیات ساختار پوسته و گوشه‌های بالایی یکی از اهداف مهم مطالعات ژئوفیزیکی است. ژرفای مoho و نسبت Vp/Vs نیز از پارامترهای مهم برای مشخص کردن ساختار پوسته با زمین‌شناسی و زمین‌ساخت هر منطقه نیز در ارتباط هستند. کوشش‌های زیادی در چند دهه گذشته برای به دست آوردن ساختار پوسته و ژرفای مoho انجام شده است. از روش‌های معمول برای به دست آوردن جزئیات ساختار پوسته و سنگ‌کرمه روش‌های بازتابی لرزه‌ای و شکست مرزی هستند. این روش‌ها به دلیل استفاده از امواج لرزه‌ای به نسبت با سامد بالا در ایستگاه تقدیرت تفکیک عمودی بالا ولی بسیار پرهزینه هستند. روش تحلیل تابع گیرنده یکی از روش‌های مفید و دقیق برای تعیین جزئیات ساختار پوسته و گوشه‌های بالایی زیر یک ایستگاه لرزه‌نگاری است که نسبت به روش‌های دیگر مزیت‌هایی دارد، از جمله آنها، کم بودن فاصله جانبه (قریباً ۱۰ km) بین نقطه تبدیل موج P به S در ناپوستگی‌های زیر یک ایستگاه لرزه‌نگاری و ایستگاه است (Zhu & Kanamori, 2000) لذا این روش برخلاف روش‌های پیشین بیشتر به جزئیات ساختار عمودی سرعت حساس است تا به تغییرات جانبه آن و دیگر این که دارای ژرفای نفوذ زیادی است. همچنین این روش از نظر هزینه نیز گران نیست.

این روش در ابتدای برای تعیین ستبرای پوسته و جزئیات آن مورد استفاده قرار گرفت (Phinney, 1964; Burdick & Langston, 1977, 1979; Langston, 1977, 1979). بعد از نیز برای مطالعه گوشه‌های بالایی مورد استفاده قرار گرفت (Kind & Vinnik, 1988). هدف اصلی ما در این مطالعه، محاسبه ژرفای مoho است. اطلاعات ما درباره ژرفای مoho در زاگرس منحصر به مطالعاتی است که توسط Dehgani & Makris(1984) Hatzfel et al.(2003), Paul et al.(2005); Yamini-Fard et al. (2006) و انجام گرفته است. در این مقاله با توجه به داشتن توزیع مناسب ایستگاه‌های نگاری و داده کافی، برای بهبود دانش خود از ساختار پوسته و ژرفای مoho در منطقه کرمانشاه واقع در شمال باختر زاگرس از روش تحلیل تابع گیرنده P که روش دقیقی برای محاسبه ژرفای مoho است، استفاده شده است.

## ۲- روش تابع گیرنده

شکل موج امواج حجمی دورلرز ثبت شده توسط ایستگاه‌های لرزه‌ای سه مؤلفه‌ای (E-W, N-S, Z) شامل اطلاعات مفیدی در مورد چشم زمین‌لرزه (تابع زمانی چشم و ساختار نزدیک آن) مسیر انتشار در گوشه و ناحیه گیرنده هستند که می‌توان از آنها برای استخراج ساختار پوسته زیر یک ایستگاه لرزه‌نگاری استفاده نمود. تابع گیرنده در واقع پاسخ ساختار زیرسطحی گیرنده به امواج حجمی دورلرز است. اساس این روش به این صورت است که قسمتی از ازیزی موج P حاصل از حوادث دورلرز در ناپوستگی‌های لرزه‌ای به نسبت تیز در پوسته و گوشه‌های بالایی به موج برشی تبدیل می‌شود (فاز Ps) که در هر ایستگاه‌نگاری به دنبال موج P مستقیم می‌رسد. دامنه، زمان رسید و پلاریته فاز تبدیل یافته Ps به ساختار سرعی موج برشی زیر ایستگاه بستگی دارد. با جدا کردن ازیزی فازهای تبدیل یافته Ps از موج P مستقیم، لرزه‌نگاشت ثبت شده در ایستگاه، قادر به استخراج ناپوستگی‌های زیر یک ایستگاه لرزه‌نگاری که در آنجا تبدیلات P به صورت گرفته است، خواهد بود. برای به دست آوردن تابع گیرنده P

با در نظر گرفتن  $Vp/Vs = 6/3$  km/s و  $Vp/Vs = 1/73$  km/s و قرائت زمان فاز تبدیلی Ps استبرای پوسته حساب شد. میزان خطای تعیین ژرفایی مoho با استفاده از روش تابع گیرنده P و براساس مدل مرتع IASP91  $\pm 2$  km است. جدول ۱ نتایج نهایی ژرفایی مoho و نسبت Vs/Vp را نشان می‌دهد. با توجه به نتایج مندرج در جدول، میانگین ژرفایی مoho و نسبت Vs/Vp برای منطقه کرمانشاه به ترتیب  $42 \pm 76$  کیلومتر و  $1/76$  به دست آمد که با توجه به زمین‌شناسی منطقه (به طور عمده با ساختار رسوی) نتایج قابل قبولی است. در جدول ۱ خطای ژرفایی در ستون پنجم، خطای روش Zhu & Kanamori (2000) است.

برای به دست آوردن یک مقطع دو بعدی ژرفایی-مسافت تأخیر زمانی فاز تبدیل Ps به دست آمده از توابع گیرنده برای هر ایستگاه لرزه‌نگاری مانند روش مهاجرت در روش‌های لزمای (migration) به ژرفایی تبدیل شده است (با استفاده از مدل IASP91). شکل ۶ مقطع دو بعدی مسافت-ژرفایی تابع گیرنده مهاجرت داده شده را در امتداد یک نیمرخ خاوری-پاخری (۴۸/۵ تا ۴۸/۵ درجه طول خاوری) برای منطقه کرمانشاه نشان می‌دهد. دامنه‌های مثبت توابع گیرنده به رنگ سرخ بوده در حالی که دامنه‌های منفی به رنگ آبی هستند. با توجه به شکل ۶ ژرفایی مoho از حدود ۴۰ تا ۵۰ کیلومتر تغییر می‌کند و با توجه به ژرفایی‌های به دست آمده برای مoho سطح تخت نیست که با نتایج به دست آمده از روش Zhu and Kanamori (2000) همخوانی دارد.

با توجه به آن که منطقه مورد مطالعه تحت همگرایی و برخورد قاره‌ای قرار دارد و این همگرایی موجب کوتاه‌شدن گی پوسته قاره‌ای بین صفحه اوراسیا و عربستان شده است و با توجه به موقعیت ایستگاه‌های تحت مطالعه که در زون زاگرس مرتفع قرار دارند و از ویژگی‌های زاگرس مرتفع وجود راندگی‌های فراوان در آن است که افزایش ستبرای پوسته قاره‌ای در زاگرس مرتفع را به دنبال دارد (آقاباتی، ۱۳۸۳) و نتایج به دست آمده برای ستبرای پوسته منطقی به نظر می‌رسد.

## ۵- سپاسگزاری

لازم می‌دانیم که از شبکه لرزه‌نگاری کشوری وابسته به مؤسسه رئوویزیک دانشگاه تهران که در تهیه داده‌های مورد نیاز ما را یاری نمودند قدردانی کیم. همچنین از مؤسسه تحقیقاتی علوم زمین پسندام آلمان به خاطر در اختیار گذاردن نرم‌افزارهای مورد نیاز کمال سپاسگزاری را داریم.

رسیدهای پیش‌بینی شده فازهای Ps، PpPs و PpSs هستند. همچنین  $w_i$  ضریب وزن هستند که  $w_i = 1 - \sum H_i k_i$  که به ازای آنها  $S(H, k)$  بیشینه مقدار خود را داشته باشد بهینه جواب برای ژرفای (H) و نسبت (k) خواهد بود. همچنین با برآنبارش توابع گیرنده از مسافت‌ها و جهات مختلف در حوزه، ژرفای و نسبت Vs/Vp، می‌توان اثرات تغییر جانبی سرعت را نیز کاهش داد.

## ۳- داده‌ها

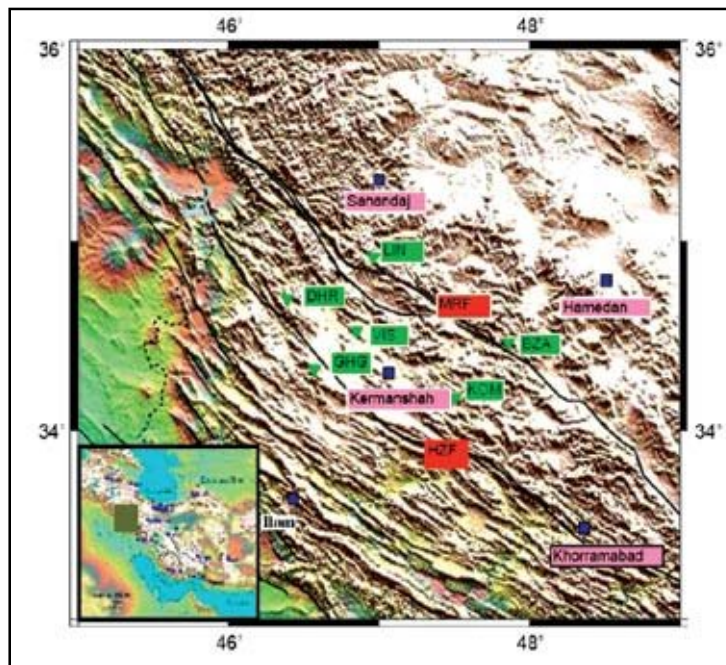
در این مطالعه از نگاشت‌های مربوط به ۱۶۰ حادثه دورلرز که توسط پنج ایستگاه لرزه‌نگاری کوتاه دوره، سه مؤلفه‌ای و دیجیتالی (ویس، کماسی، قلعه‌غازی، لاین و دهرش) از سال ۲۰۰۳ تا ۲۰۰۷ میلادی در شبکه کرمانشاه ثبت و استفاده شده است. لرزه‌نگارهای (سرعت‌سنج) مورد استفاده در این شبکه از نوع ۱-SS با سامد ویژه یک هر تر هستند. تعداد واقعی نگاشت‌ها برای ایستگاه‌های مختلف با در نظر گرفتن کیفیت داده‌ها (نوفه‌ای بودن آنها)، داشتن شروع موج P واضح و مناسب بودن طول نگاشت از نظر زمانی) بین ۳۰ تا ۱۲۰ نگاشت است. شکل ۲ توزیع رومگز زلزله‌های دورلرز مورد استفاده در این مطالعه را نشان می‌دهد.

## ۴- بحث و نتیجه‌گیری

برای به دست آوردن توابع گیرنده، در ابتدا یک پنجره زمانی به طول ۱۲۰ ثانیه از لرزه‌نگارهای سرعت (۳۰ ثانیه قبل و ۹۰ ثانیه بعد از شروع موج P) انتخاب شد. علت انتخاب این پنجره زمانی برای مشاهده کردن فاز تبدیلی Ps مoho و بازتاب‌های چندگانه آن است. سپس برای حذف نوفه‌های زمینه، از فیلتر میان‌گذر  $1/3$ ، ثانیه تا ۱۰ ثانیه استفاده شد. در مرحله بعد چرخش مؤلفه‌ها از دستگاه مختصات ZNE به LQT انجام شد. بعد از چرخش، مؤلفه‌های Q و T با سیگنال P بر روی مؤلفه L به ازای Water level ۰/۰۱ در حدود ۱۲۰ ثانیه بعد از واهمامیخت برای حذف نوفه‌های بسامد بالا از فیلتر پایین‌گذر ۲ ثانیه استفاده شد.

شکل ۳ بهترین توابع گیرنده به دست آمده برای ۵ ایستگاه لرزه‌نگاری ویس، قلعه‌غازی، دهرش، کماسی و لاین را در پنجره زمانی ۵-۲۵ ثانیه که بر حسب Back Azimuth مرتب شده‌اند را پس از تصحیح مسافت نشان می‌دهد. فازهای تبدیلی از مoho و بازتاب‌های چندگانه آن آشکارا دیده می‌شوند. در پنجره بالایی هر شکل، برآنبارش توابع گیرنده نیز نشان داده شده‌اند. با توجه به شکل‌ها یک فاز به نسبت قوی در حدود  $1/3$  ثانیه در GHG تا ۲/۵ ثانیه در VIS وجود دارد. دو مین فاز قوی و مشخص در این ایستگاه‌ها در حدود ۴/۵ ثانیه برای LIN ۵/۹ تا ۵/۹ ثانیه برای ایستگاه VIS است که مربوط به فاز تبدیلی از Moho است. همچنین بازتاب‌های چندگانه پوسته‌ای تولید شده بین Moho و سطح آزاد زمین برای ایستگاه‌های مختلف از حدود ۱۵ ثانیه تا ۲۴ ثانیه دیده می‌شوند. شکل ۴ توابع گیرنده را برای همه ایستگاه‌ها از باختیر به خاور نشان می‌دهد. مشاهده می‌کنیم که فاز تبدیلی از Moho ۴/۵ تا ۵/۹ ثانیه تغییر می‌کند. خط‌چین سرخ رنگ فاز تبدیلی از Moho را نشان می‌دهد. در ادامه کار Zuh ستبرای پوسته و نسبت Vp/Vs از دو روش محاسبه شده است. ابتدا از روش Vp/Vs (2000) & برای برآورد هم‌زمان ژرفای مoho و نسبت Vp/Vs برای ایستگاه‌هایی که بازتاب‌های چندگانه آشکار دارند، میانگین ستبرای پوسته و نسبت Vp/Vs محاسبه شد.

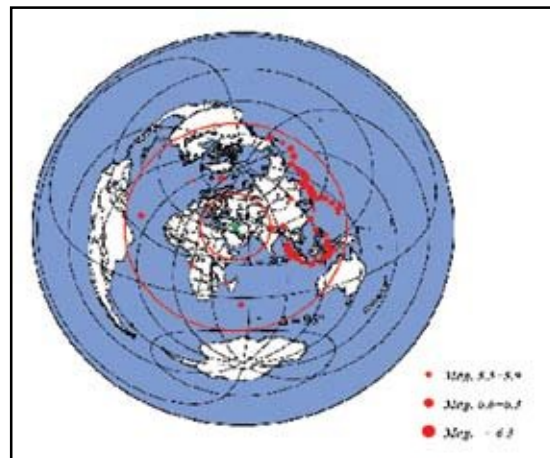
شکل ۵ نتایج روش (2000) Zhu & Kanamori را برای ایستگاه‌های VIS، GHG و DHR و KOM نشان می‌دهد. در روش دوم با استفاده از مدل مرتع IASP91 و www.SID.ir



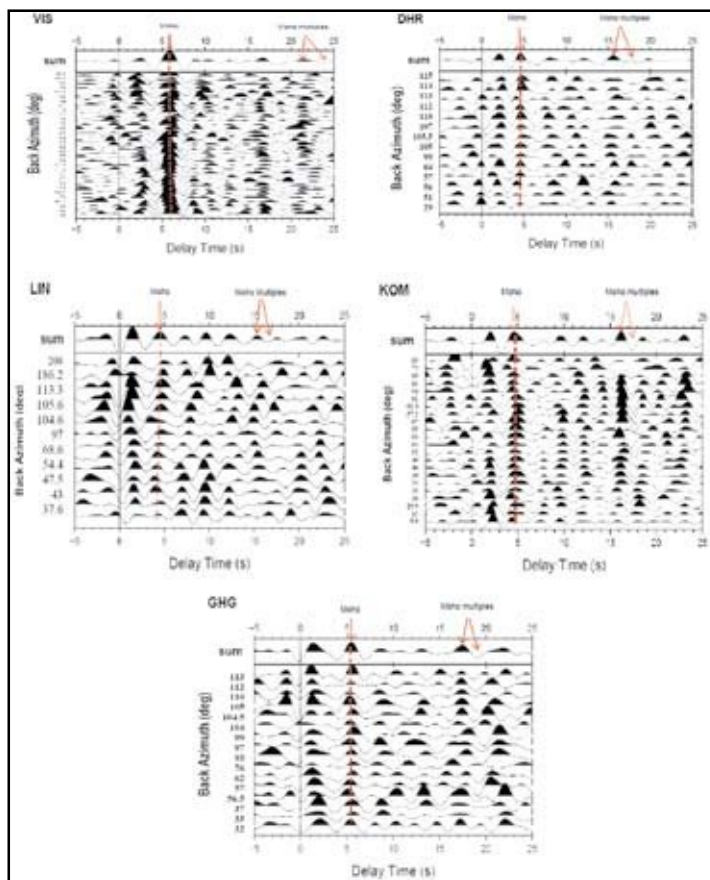
شکل ۱- نقشه توپوگرافی منطقه کرمانشاه، مثلث های وارونه سبز رنگ نشان دهنده موقعیت ایستگاه های لرزه نگاری کوتاه دوره سه مؤلفه ای مورد استفاده در این مطالعه هستند. MRF نشان دهنده گسل اصلی عهد حاضر زاگرس است.

جدول ۱- نتایج نهایی ژرفای مoho و نسبت Vp/Vs

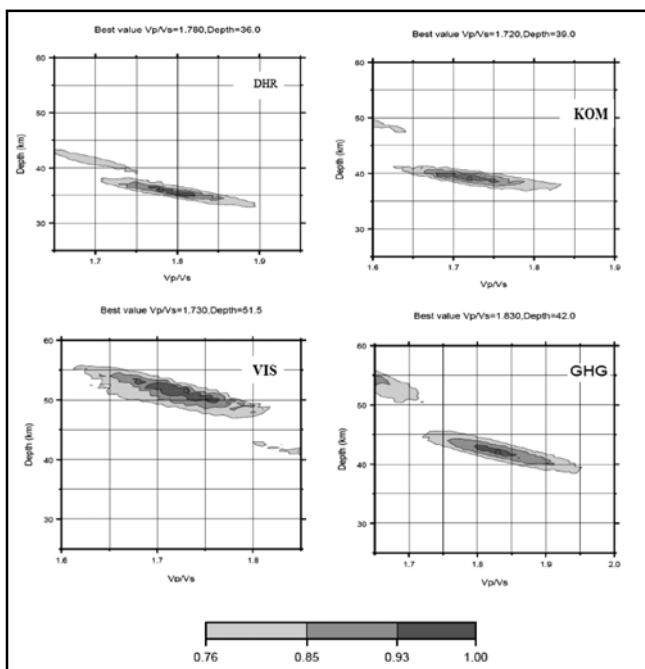
T(Ps) ثانیه	(km) (TT)	ژرفای مoho (TT)	Vp/Vs (Z&K)	(km) ژرفای مoho (Z&K)	طول جغرافیایی (درجه)	عرض جغرافیایی (درجه)	علامت اختصاری	نام ایستگاه
۴/۶	۳۷/۰±۲	۱/۷۸±۰/۰۳۵	۳۶/۰±۱	۴۶/۳۹	۳۴/۷۰	DHR	دهرش	
۵/۴	۵۴/۰±۲	۱/۸۳±۰/۰۳۵	۴۲/۰±۱	۴۶/۵۷	۳۴/۳۳	GHG	قلعه غازی	
۴/۶	۳۷/۰±۲	۱/۷۷±۰/۰۴۰	۳۹/۰±۱	۴۷/۵۱	۳۴/۱۸	KOM	کماسی	
۴/۵	۳۶/۵±۲	۱/۷۶±۰/۰۲۵	۳۷/۰±۱	۴۶/۹۶	۳۴/۹۲	LIN	لاین	
۵/۹	۴۹/۰±۲	۱/۷۳±۰/۰۳۵	۵۱/۵±۲	۴۶/۸۵	۳۴/۵۳	VIS	ویس	



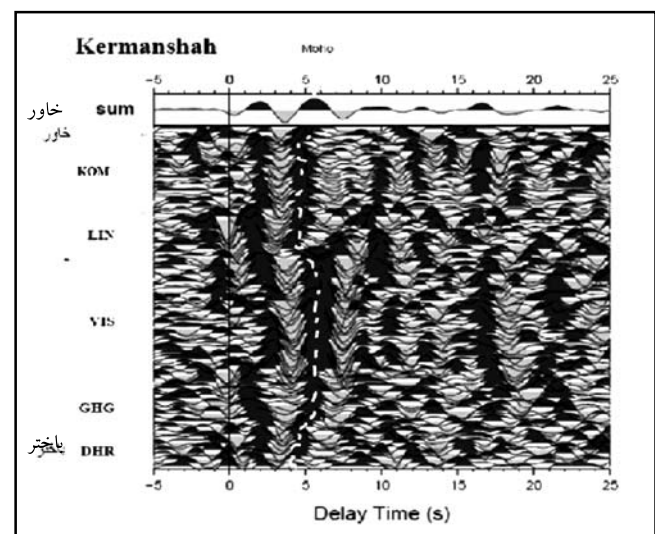
شکل ۲- توزیع رومکز زمین لرزه های دور لرز مورد استفاده برای تعیین توابع گیرنده P در این مطالعه. ستاره سبز رنگ مرکز شبکه کرمانشاه را نشان می دهد. زمین لرزه های به کار برده شده دارای بزرگای  $m_b \geq 5/5$  (در مقیاس امواج حجمی) و فاصله رومکزها بین ۳۰ تا ۴۰ درجه می باشند.



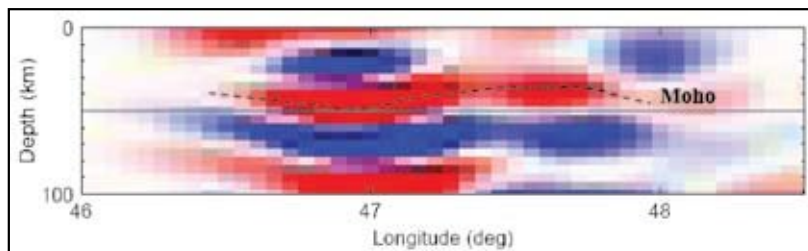
شکل ۳-الف) توابع گیرنده محاسبه شده برای ایستگاه VIS، GHG، DHR، KOM و LIN. توابع گیرنده در پنجره زمانی ۵-۲۵ ثانیه رسم شده و بر حسب Back Azimuth مرتب شده است. فاز تبدیلی از موهونیز در شکل ها مشخص شده است. پنجه بالایی برآبازش شده توابع گیرنده به دست آمده را نشان می دهد.



شکل ۵- نتایج روش Zhu and Kanamori(2000) برای ایستگاههای DHR، GHG، VIS و KOM



شکل ۴- نمودار همه توابع گیرنده محاسبه شده برای شبکه کرمانشاه. در قسمت بالایی شکل جمع همه توابع گیرنده محاسبه شده برای منطقه کرمانشاه نشان داده شده است.



شکل ۶- مقطع دو بعدی مسافت-ژرفای توابع گیرنده مهاجرت داده شده برای منطقه کرمانشاه در امتداد نیمرخ خاوری- باختری (۴۸/۵ تا ۴۶ درجه طول خاوری).

### کتابنگاری

آقابناتی، ع.، ۱۳۸۳ - زمین‌شناسی ایران، چاپ دوم. سازمان زمین‌شناسی و آکتشافات معدنی کشور، ۵۸۵ صفحه.

پایگاه ملی داده‌های علوم زمین [www.ngdir.ir](http://www.ngdir.ir)

درویش‌زاده، ع.، ۱۳۸۲ - زمین‌شناسی ایران، چاپ سوم، انتشارات امیرکبیر، ۹۰۱ صفحه.

مصطفی، ه.، ۱۳۷۴ - زمین‌شناسی نفت زاگرس، سازمان زمین‌شناسی کشور، طرح تدوین.

### References

- Alavi, M., 1994 - Tectonics of the Zagros orogenic belt of Iran: New data interpretations. *Tectonophysics*, 229:211-238.
- Berberian, M., 1995- Master " blind " Thrust faults hidden under the Zagros fold active basement tectonics and surface morphotectonics. *Tectonophysics*, 241: 193-224.
- Burdick, L. J. & Langston, C. A., 1977- Modeling crust-structure through the use of converted phases in teleseismic body-waveforms, *Bull. Seism. Soc. Am.* 67:677- 691.
- Dehgani, G. A., Makris, J., 1984 - The gravity field and crustal structure of Iran, *N.Jb .Geol .Palaeont. Abh*, 168:215-229
- Falcon, N. L., 1974 - Southern Iran, Zagros Mountain in Mesozoic-Cenozoic belt; Data for Orogenic Studies, ed. Spencer, A.M., *Geol. Soc. Spec. publ. London*, No. 4, P. 199-211.
- Hatzfeld, D., Tatar, M., Priestley, K. & Ghafory –Ashtiani, M., 2003- Seismological constraints on the crustal structure beneath Zagros belt (Iran), *Geophys. J. Int.*, 155: 403-410.
- Kind, R., Kosarve, G. & Peterson, N.V., 1995 -Receiver function at the stations of the German Regional Seismic Network (GRSN) ,*Geophys. J. Int.*, 121:191-202.
- Kind, R. & Vinnik, L. P., 1988-The upper mantel discontinuities underneath the GRF array from P-to-S converted phases. *J. Geophys.* 62, 138-147.
- Kosarev, G., Kind, R., Sobolev, S. V., Yuan, X., Hanka, W. & Oreshin, S., 1999-Seismic evidence for a detected Indian Lithosphere mantle beneath Tibet, *Science*, 283:1306-1309 .
- Langston, C. A., 1977-The effect of planner dipping structure for constant ray parameter, *BSSA*, 67:1029-1050.
- Langston, C. A., 1979-Structure under Mount Rainier, Washington, inferred from teleseismic body waves, *J. Geophys. Res.*, 84:4749 – 4762
- Mohsen, A., Hofstetter, R., Bock, G., Kind, R., Weber, M., Wylegalla, K., Rumpker, G. & the DESERT Group, 2005- A receiver function study of the crust and upper mantle across the dead sea transform, *Geophys. J. int.*, 160: 948-960.
- Mooney, W. D., Laske, G. & Masters, G., 1998-A Global crustal model at 5×5 degrees, *J. Geophys. Res.*, 103:727-747
- Phinney, R. A., 1964- Structure of the Earth's crust from spectral behaviour of long-period body waves, *J. Geophys. Res.* 69:2997-3107.
- Paul, A., Kaviani, A., Vergne, J. & Mokhtari, M., 2006- Seismological evidence for crustal-scale thrusting in the Zagros mountain belt (Iran), *Geophys. J. Int.*, 166: 227-237.
- Ramesh, D. S., Kumar, M. R., Devi, E. U., Raju, P. S. & Yaun, X., 2005 –Moho geometry and upper mantel images of northeast India, *Geophys. Res. Lett.*, 32. L 14301.
- Stocklin, J., 1968- Structure history and tectonics of Iran. A review, *American Association of Petroleum Geologists Bulletin*, 52: 1229-1258.
- Synder, D. B. & Barazangi, M., 1986- Deep crustal structure and flexure of the Arabian plate beneath the Zagros collisional mountain belt as inferred from gravity Observation. *Tectonics*,5: 361-373..
- Sodoudi, F., Kind, R., Priestly, W., Hanka, W., Wylegalla, K., Stavrakakis, G., Vafidis, A., Harjes, H. P. & Bohnhoff, M., 2006-Lithospheric structure of the Aegean obtained from p and s receiver functions, *J.Geophys.Res*, 11:12307-12330
- Tchalenko, J. S. & Braud, J., 1974- Seismicity and structure of the Zagros (Iran): The Main Recent Fault between 33° and 35° N, *Phil. Trans. R. Soc. Lond.*, A. 227: 1-25.
- Yamini-Fard, F., Hatzfeld, D., Tatar, M. & Mokhtari, M., 2006- Microearthquake seismicity at the intersection between the Kazerun fault and Main Recent Fault (Zagros, Iran), *Geophys. J. Int.*, doi: 10.1111/j.1365-246X.2006.02891.x.
- Yuan, X., Sobolev, S. V., Kind, R., Oncken, O., Bock, G., Asch, G., Schurr, B., Graeber, F., Rudloff, A., Hanka, W., Wylegalla, K., Tibi, R., Haberland, Ch., Rietbrock, A., Giese, P., Wigger, P., Rower, P., Zandt, G., Beck, S., Wallace, T., Pardo, M. & Comte, D., 2000- New constraints on subduction and collision processes in the Central Andes from P-to-S converted seismic phases, *nature*, 408: 958-961.
- Yuan,X.,Sobolev,S.V.,andKind,R.,2002-Mohotopographyinthe central Andes and its geodynamic implication, *Earth Planet. Sci. Lett.*, 199:389-402.
- Zhu, L., 2000- Crustal structure across the San Andreas Fault southern California from telesiesmic converted waves, *Earth and Planetary Sci. Lett.*, 179:183-190.
- Zhu,L.,andKanamori,H.,2000-Moho depth variation in southern California from telesismic receiver functions, *J. Geophys. Res.*, 105:2969-2980.

## Moho Depth Variations and Vp/Vs Ratio in Northwest of Zagros (Kermanshah Region) using Teleseismic Receiver Functions

N. Afsari<sup>1\*</sup>, F. Sodoudi<sup>2</sup>, M. R. Gheitanchi<sup>3</sup> & A. Kaviani<sup>4</sup>

<sup>1</sup> Islamic Azad University (IAU), Science & Research Branch, Tehran, Iran.

<sup>2</sup> Geo Forschungs Zentrum, Potsdam, Germany.

<sup>3</sup> University of Tehran, Institute of Geophysics, Tehran, Iran.

<sup>4</sup> Institute for Advanced Studies in Basic Science Zanjan, Geophysics Department, Zanjan, Iran.

Received: 2008 April 19      Accepted: 2008 August 30

### Abstract

Characterization of the detailed structure of the crust and upper mantle is an important continuing goal of geophysical studies. Teleseismic body waveforms have been used to infer crust and upper mantle structure. In this study we use teleseismic receiver function method to determine the crustal thickness and Vp/Vs ratio under Kermanshah network in north-west of Zagros using teleseismic data ( $30^\circ < \Delta < 95^\circ$ ,  $mb \geq 5.5$ ) which have been recorded at five short-period three component stations (2003-2007). The differential travel time between the incident P wave and P to S converted wave (delay time) is used for computation of crustal thickness. Moho depth is not sensitive to crustal P velocity but there is a trade off between Moho depth and Vp/Vs ratio. The ambiguity can be reduced by incorporating the later multiple converted phases, namely, PpPs and PpSs+ PsPs. We use the method of Zhu and Kanamori (2000). This method performs a grid search through the H and Vp/Vs space and searches for the largest summed amplitudes at the predicted times of direct conversions and multiples. By stacking receiver functions from different distances and directions, effects of lateral structural variation are suppressed and an average crustal thickness is obtained. Applying this method to five short period stations in Kermanshah reveals that the Moho depth is 42 km and varies between 36 and 51.5 km. The thinnest crust was found beneath DHR, whereas the deepest crust was observed beneath VIS. We observed that Moho depth increase from west to east (from DHR to VIS) then decrease to KOM. The average Vp/Vs ratio as estimated is about 1.76.

**Key words:** Moho, Teleseismic receiver function, Stacking, Zagros

For Persian Version see pages 45 to 50

\*Corresponding author: N. Afsari; Email: ng\_afsari@yahoo.com